

مقایسه تنوع DNA کلروپلاستی برخی ژنوتیپ‌های سیب ایرانی، ارقام تجاری و برخی پایه‌های متداول

شاھین جهانگیرزاده خیاوى^{۱*}، ذیع الله زمانى^۲، محمد رضا فتاحى^۳ و معصومه عاشورپور^۴

۱- استادیار پژوهشی، پژوهشکده چای، مؤسسه تحقیقات علوم باغبانی، سازمان تحقیقات، آموزش و ترویج کشاورزی، لاهیجان

۲- استاد، گروه علوم باغبانی، دانشکده کشاورزی، دانشگاه تهران، کرج

۳- دانشیار، گروه علوم باغبانی، دانشکده کشاورزی، دانشگاه تهران، کرج

۴- کارشناس ارشد، سازمان جهاد کشاورزی گیلان، رشت

(تاریخ دریافت: ۱۳۹۶/۰۴/۱۴ - تاریخ پذیرش: ۱۳۹۶/۱۲/۲۰)

چکیده

DNA کلروپلاستی ۶۴ نمونه سیب (*Malus spp.*) (۵۴ ژنوتیپ بومی ایران، پنج رقم تجاری و پنج پایه) برای مشخص کردن هاپلوتاپ‌های آنها با کاربرد روش واکنش زنجیره‌ای پلی‌مراز-تفاوت طول قطعات حاصل از هضم (PCR-RFLP) بررسی شد. تقریباً ۴۳۲۰ bp از ژنوم کلروپلاست با کاربرد دو جفت آغازگر عمومی کلروپلاست و دو آنزیم برشی محدودگر (*MseI* و *EcoRI*) بررسی گردید. تمام جهش‌های شناسایی شده، حذف-اضافه در محدوده ۴۰-۱۰ bp بودند. ترکیب تمام جهش‌ها، شش هاپلوتاپ (H1, H2, H3, H4, H5, H6) را در نمونه‌های مورد بررسی معرفی نمود. مشخص شد که پایه سیب بومی رقم گمی آلماسی هاپلوتاپ اختصاصی خود را دارا بوده و از تمامی نمونه‌های مورد بررسی منطقه خود (آذربایجان) متفاوت است. اطلاعات تنوع DNA کلروپلاستی می‌تواند برای مطالعات فیلوجنتیکی در این گیاه به کار رود و چند شکلی‌های مشخص شده در ژنوم سیتوپلاسمی با روش PCR-RFLP می‌تواند به درک وراثت مادری سیب کمک کند.

واژگان کلیدی: آغازگر عمومی کلروپلاست، آنزیم برشی محدودگر، سیب، هاپلوتاپ، PCR-RFLP

* نویسنده مسئول، آدرس پست الکترونیکی: sh.jahangirzadeh@areeo.ac.ir

مقدمة

واکنش زنجیره‌ای پلی مراز- تفاوت طول قطعات حاصل Polymerase Chain Reaction–Restriction از هضم (برای Fragment Length Polymorphism, PCR-RFLP بررسی تنوع کلروپلاستی بسیاری از گیاهان استفاده شده است) Cros *et al.*, 1998; Widmer and Mohanty *et al.*, 2001; Panda *et al.*, Baltisberger, 1999; Kucuk *et al.*, Salehi Shanjani, 2004; *et al.*, 2003; Coart *et al.*, 2006; Turkec *et al.*, 2006; 2006; Bouhadida *et al.*, 2007; Jahangirzadeh Khiavi *et al.*, (2013).

جهانگیرزاده خیاوی و همکاران (Jahangirzadeh Khiavi et al., 2013) در بررسی هاپلوتایپی ۲۶ نمونه سیب بومی ایران از منطقه آذربایجان و دو رقم تجاری و دو رقم پایه پاکوتاه کننده از روش CAPs با کاربرد ۳ جفت آغازگر عمومی کلروپلاست حدود ۴/۱۳٪ از ژنوم کلروپلاست را مورد پژوهش قرار دادند. در بررسی آنها نمونه‌ها در هشت هاپلوتایپ قرار گرفتند که تمام این هاپلو تایپ‌ها نتیجه چهش‌های حذف و اضافه بودند.

نیز تورکچی و همکاران (Turkec *et al.*, 2006) با استفاده از cpSCAR ارقام گیلامس را مورد بررسی قرار نشانگرها دادند و مشاهده نمودند که آنالیز *kDNA* کلروپلاست روشن خوبی برای طبقه بندی ارقام گیلامس می باشد و با مقایسه نتایج خود با دیگران گزارش نمودند که از روش cpSCAR می توان برای مطالعات فیلوژنتیکی استفاده نمود.

برای بررسی ارتباط بین سیب‌های وحشی اروپایی (*Malus sylvestris* (L.) Mill) و انواع اهلی شده و مطلوب آن (*M. domestica* Borkh) تنوع DNA کلروپلاستی توسط دو روش SNP و PCR-RFLP مورد بررسی قرار گرفت که با بررسی چند شکلی‌های تمام نشانگرها ۱۶ هاپلوتاپ شناسایی شد (Coart *et al.*, 2006).

زین العابدینی و همکاران (Zeinalabedini *et al.*, 2007) با بررسی تنوع ژنتیکی ۴۵ اکسیشن بادام توسط نشانگرهای SSR ای هسته ای و کلروپلاستی گزارش نمودند. SSR های هسته ای پلی مورفیسم بیشتری نسبت به

مقدمة

سبی از جمله میوه‌هایی می‌باشد که بشر از اوایل آغاز کشاورزی اقدام به کاشت آن نموده است و با این قدمت تاریخی در قرن اخیر به عنوان یکی از مهم‌ترین محصولات کشاورزی شناخته می‌شود (Manie, 2001). به دلیل بهبود شرایط زندگی، بشر گام‌های بلندی در جهت اصلاح این محصول برداشته که منجر به معرفی ارقام زیادی با تنوع بالا به بازار مصرف گشته است (Bagheri et al., 1996). اهلی کردن برای مصارف کشاورزی باعث ایجاد تغییرات شگرف تکاملی در گونه‌های این محصول شده است (Manie, 2001; Bagheri et al., 1996) که این فرایند تکاملی باعث گم شدن والدین اولیه در ارقام جدید می‌شود.

در ابتدا نحوه طبقه‌بندی و گروه‌بندی ارقام بر اساس ویژگی‌های مورفولوژیک بود. ولی با توسعه روش‌های مبتنی بر ویژگی‌های DNA و با اطلاع از ویژگی‌های DNA کلروپلاستی (حفظت شدگی بالا، وراثت Demesure *et al.* 1995; Dumolin- تک‌والدی و ...) (Lapegue *et al.* 1997; Grivet *et al.*, 2001 کامل ژنوم کلروپلاستی که به علت حفاظت شدگی بالا آن آغازگرهای عمومی زیادی برای تکثیر قطعات این ژنوم Taberlet *et al.*, 1991; Demesure *et al.*, 1995; Dumolin-Lapegue *et al.* 1997; Grivet *et al.*, 2001؛ بسیاری از مطالعات فیلوزنی به سوی استفاده از این مولکول ارزشمند تغییر مسیر داد.

از DNA کلروپلاستی به روش های متفاوتی می توان برای بررسی تنوع گیاهان استفاده نمود مانند روش تفاوت طول قطعات حاصل از هضم (Restriction Fragment Length) (Ishikawa *et al.*, 1992; Matsumoto *et al.*, 1997; Katayama and Uematsu, 2005) یا با کاربرد ریزماهواره ای کلروپلاستی (Chloroplast Simple Sequence Repeat, CpSSR) و (Zeinalabedini *et al.*, 2007; Heuertz *et al.*, 2004) روش تفاوت تک نوکلئوتیدی (Single Nucleotide Polymorphism, SNP) (Fujii *et al.*, 2002) از روش

های کلروپلاستی نشان می‌دهند و دلیل این امر را وجود نواحی حفاظت شده بیشتری در داخل ژنوم کلروپلاست بیان نمودند.

ایشی‌کاوا و همکاران (Ishikawa *et al.*, 1992) با استفاده از تفاوت‌های طول قطعات ناشی از هضم DNA میتوکندریایی و کلروپلاستی به بررسی تنوع ژنتیکی ۱۸ رقم سیب و ۳ پایه آن پرداختند و بر این اساس ژنوتیپ‌های مورد مطالعه به ۳ گروه طبقه‌بندی شدند.

پاندا و همکاران (Panda *et al.*, 2003) به بررسی ۹۶ رقم گیلاس (*Prunus avium* L.) و ۵ رقم آبالو (*Prunus cerasus* L.) جهت مشخص کردن هاپلوتیپ‌های آنها توسط روش PCR-RFLP پرداختند و در این مطالعه ۹/۶ درصد ژنوم کلروپلاست بررسی شد و مشخص گردید که تمامی جهش‌یافته‌ها از تغییراتی در حدود ۵-۳۰ pb برخوردار بودند. ارقام مورد مطالعه در نهایت به سه هاپلوتیپ (H1، H2 و H3) در مورد گیلاس و یک هاپلوتیپ (H4) در مورد آبالو طبقه‌بندی شدند. نتایج این تحقیقات نشان داد که پایی مورفیسم DNA کلروپلاستی در درک وراثت مادری در گیلاس و آبالو نقش موثری ایفا می‌نماید و بدین طریق گیلاس کاملاً از آبالو جدا می‌گردد. در این مطالعه مشخص شد که گیلاس والد مادری آبالو نمی‌باشد.

کاتایاما و یوماتسو (Katayama and Uematsu, 2005) به منظور آگاهی از جنبه‌های تکاملی ساختار cpDNA در خانواده Rosaceae نقشه فیزیکی cpDNA هلو را طراحی کردند و ۱۷ مورد تغییرات جهشی در اکسیشن‌های بررسی شده مشاهده نمودند.

در مطالعه حاضر تنوع سیتوپلاسمی و ارتباطات بین برخی ژنوتیپ‌های سیب بومی ایران، ارقام تجاری و برخی پایه‌های پاکوتاه کننده متداول این گیاه بررسی شده است تا از این راه کمکی برای حفاظت و مدیریت ژرم پلاسم بسیار غنی سیب موجود در کشور ایران باشد.

مواد و روش‌ها

مواد گیاهی: برای انجام این تحقیق ۶۴ ژنوتیپ و رقم شامل ۵۴ ژنوتیپ بومی ایران، پنج رقم تجاری سیب و ۵ نوع از پایه‌های پاکوتاه کننده رویشی متداول سیب از کلکسیون موسسه اصلاح و تهیه نهال و بذر (واقع در کمال آباد کرج) و کلکسیون سیب دانشگاه ارومیه تهیه گردید (جدول ۱). برگ‌های بالغ و کامل شده به عنوان نمونه جمع آوری و در دمای -۸۰ درجه سانتی‌گراد تا زمان استفاده نگهداری شدند.

استخراج DNA: ژنومی از نمونه‌های برگی جمع آوری شده بر اساس دستور العمل معرفی شده برای نشانگر آرایه تنوع (DART P/L) توسط شرکت Diversity Arrays Technology Pty Ltd (http://www.diversityarrays.com) استخراج گردید.

تکثیر قطعات DNA کلروپلاست: DNA کلروپلاست توسط سه جفت آغازگر عمومی کلروپلاست (B₁B₂, TF K₁K₂, TF Grivet *et al.*, 2001) با شرایط زیر تکثیر گردید. مخلوط واکنش زنجیره‌ای پلی‌مراز برای نمونه‌ها در حجم ۳۰ میکرولیتر از ترکیب سه میلی مولار کلرید منزیم، ۰/۲ میلی مولار از هر dNTP، یک واحد آنزیم تک DNA پلی‌مراز، دو میکرولیتر از بافر واکنش زنجیره‌ای پلیمراز (۱۰ برابر غلظت) بدون کلرید منزیم و ۳۰ نانوگرم DNA ژنومی از هر نمونه تهیه شد. واکنش زنجیره‌ای پلیمراز نمونه‌ها در شرایط یک چرخه واسرشت سازی اولیه در دمای ۹۵ درجه سانتی گراد به مدت چهار دقیقه، سپس ۳۰ چرخه شامل واسرشت سازی در ۹۵ درجه سانتی گراد به مدت ۴۵ ثانیه، اتصال آغازگر در دمای مناسب برای هر آغازگر (جدول ۲) به مدت ۴۵ ثانیه و تکثیر و بسط در دمای ۷۲ درجه سانتی گراد به مدت دو دقیقه قرار گرفته و در نهایت یک چرخه تکثیر نهایی در دمای ۷۲ درجه سانتی گراد به مدت ۱۰ دقیقه اعمال گردید.

جدول ۱- اسامی ژنتیپ‌ها، ارقام و پایه‌های مورد بررسی، محل جمع آوری آنها و هاپلوتایپ شناسایی شده

Table 1. Name of studied genotypes, cultivars and rootstocks, their place of collection and determined haplotype

ردیف No	نام نمونه Sample Name	هاپلوتایپ Haplotype	محل جمع آوری Place of collection	ردیف No	نام نمونه Sample Name	هاپلوتایپ Haplotype	محل جمع آوری Place of collection
1	Boomi meshkin shahr	H4	Seed and plant improvement Institute	33	Shafi Abadi Chalous	H5	Seed and plant improvement Institute
2	Azrbayjan 1	H3	'	34	Shahrood 10	H6	'
3	Azrbayjan 5	H4	'	35	Shahrood 21	H6	'
4	Azrbayjan 6	H2	'	36	Golab Nemati Golab	H3	'
5	Azrbayjan 7	H2	'	37	Damavand	H1	'
6	Azrbayjan 8	H1	'	38	Golab Paize	H2	'
7	Azrbayjan 14	H4	'	39	Torbati	H4	'
8	ME 2	H2	'	40	Ferdos	H4	'
9	ME3	H1	'	41	Aroos Mashhad	H2	'
10	ME 4	H3	'	42	Aroos Ghermez Ghermez	H3	'
11	ME 5	H2	'	43	Jangali	H1	'
12	ME 6	H2	'	44	Ghermez 1	H2	'
13	Ghermez Ahar	H3	'	45	Shemirani Khati	H6	'
14	Mahali Beyghi Urmia	H1	'	46	Shemirani Dirras	H3	'
15	Ghara Yarbagh	H2	'	47	Shemirani Tabestane Tabestane	H6	'
16	Khan Almasi	H2	'	48	Zodras Oghlid Tarhe Golabi	H3	'
17	Shahe Kord 8	H4	'	49	Arak	H6	'
18	T3	H2	'	50	SBA	H3	'
19	T4	H2	'	51	HGH	H6	'
20	Boshghabi Taleghan	H2	'	52	Golden Asiai	H6	'
21	Malayer 1	H2	'	53	Golden Asiai 1 Golden Delicious	H4 H1	'
22	Malayer 3	H1	'	54	Red Delicious	H4	'
23	Malayer 5	H2	'	55	Gala	H5	'
24	Malayer 8	H2	'	56	Fuji	H5	'
25	Malayer	H1	'	57	Granny Smith	H5	'
26	Palestini	H3	'	58	Gami Almasi	H6	'
27	Torsh Mesri	H4	'	59	M7	H3	'
28	Torsh Damavand	H5	'	60	M9	H6	'
29	Torsh Kermanshah	H5	'	61	M26	H5	'
30	Torsh Chalous	H5	'	62	M4	H3	'
31	Torshak Chalous	H5	'	63	MM109	H4	'
32	Torsh Meigon	H5	'				

جدول ۲- شرایط واکنش زنجیره ای پلیمراز، توالی آغازگرها، اندازه قطعات تکثیر شده و کیفیت تکثیر

Table 2. PCR conditions, primers sequence, size of amplified fragment and quality of amplification

نام آغازگر Primer name	توالی آغازگر Sequence 5'-3'	دماي اتصال Annealing temperature (°C)	طول قطعه تکثیر شده Size of amplified fragment (bp)	درجه تکثیر * Degree of amplification
B1B2	F: TGCCTTGGTATCGTGTTCATAC R: CYTGTCTTYTTGAGTTGGAT	55	1740	++
K1K2	F: GGGTTGCCCGGGACTCGAAC R: CAACGGTAGAGTACTCGGCTTTA	54.5	2580	++
TF	F: CATTACAAATGCGATGCTCT R: ATTGAACTGGTGACACGAG	57.5	-	NA

* No Amplification; ++ Perfect Amplification

* NA: عدم تکثیر، ++ تکثیر عالی

در رابطه با اندازه قطعه تکثیر شده توسط پرایمر K1K2 نیز جهانگیرزاده خیاوی و همکاران (Jahangirzadeh et al., 2013) نتایج مشابهی را گزارش نموده‌اند. از چهار ترکیب آغازگر- آنزیم برشی بکار برده شده، ترکیبات دارای آنزیم برشی *MseI* حالت چند شکلی نشان ندادند (ترکیب B1B2- *MseI* دارای جایگاه برش نبود و لی ترکیب K1K2- *MseI* قطعات یکسانی تولید نمود). اما ترکیبات *EcoRI* B1B2- *EcoRI* و K1K2- *EcoRI* چند شکلی‌های مناسب را ایجاد نمودند که ترکیب- B1B2- *EcoRI* به علت رخ داد دو جهش حذف/اضافه تولید سه حالت چند شکلی و ترکیب K1K2- *EcoRI* به علت رخ داد یک جهش حذف/اضافه تولید دو حالت چند شکلی نمودند که دامنه این جهش‌ها ۱۰-۴۰ bp بود (جدول ۳). جهانگیرزاده خیاوی و همکاران (Jahangirzadeh et al., 2013) نیز برای نشانگر K1K2 نتایج مشابهی را از نظر جایگاه برش، حالات چندشکلی و یک شکلی، و اندازه قطعات برای سیب‌های بومی منطقه آذربایجان و ارقام و پایه‌های پاکوتاه کننده گزارش نموده‌اند.

جهش‌های حذف و اضافه در ترکیبات B1B2- *EcoRI* و K1K2- *EcoRI* در شکل ۱ و حالات یک شکلی ترکیبات K1K2- *MseI* و B1B2- *MseI* در شکل ۲ برای تعدادی از نمونه‌ها نشان داده شده است. ترکیب تمام حالات جهش‌های شناسایی شده با یکدیگر تولید شش هاپلوتاپ متفاوت نمود (جدول ۴). شناسایی هاپلوتاپ‌ها به این صورت انجام گرفت که به قطعه بزرگتر حاصل از برش توسط آنزیم‌های برشی عنوان الگوی اصلی داده شد، حرف اول کدها از پرایمر، حرف دوم نام آنزیم برشی و حرف سوم که بصورت اندیس امده است به قطعه حاصل از برش توسط آنزیم‌های برشی تعلق دارد. بعد از این کد گذاری نمونه‌هایی که با یکدیگر دارای کدهای مشابه بودند در یک هاپلوتاپ قرار گرفتند. از آنجایی که تمام قطعات تکثیر شده در واکنش PCR یکنواخت و هم اندازه بودند لذا با بررسی تنها یک قطعه حاصل در ترکیب B1B2- K1K2- *EcoRI* یا دو حالت ترکیب K1K2- *EcoRI* می‌توان تمام حالت‌های هاپلوتاپی را مشخص نمود.

برای آگاهی از نتیجه تکثیر DNA حجم پنج میکرولیتر از محلول واکنش زنجیره‌ای پلیمراز، سه میکرولیتر بافر بارگذاری و دو میکرولیتر ماده ژل رد (Gel red Nucleic acid, Biotium, cat: 41003-3-1-10ml) در ژل ۱٪ آگارز به مدت دو ساعت و نیم در ۷۰ ولت الکتروفورز و عکس‌برداری زیر نور ماورا بنفس صورت پذیرفت از سایز مارکر (Lader 1kb) برای تخمین طول قطعات حاصل از تکثیر استفاده گردید.

هضم و برش توسط آنزیم برشی: هضم و برش قطعات تکثیر شده در واکنش زنجیره‌ای پلیمراز توسط دو آنزیم برشی محدودگر *EcoRI* و *MseI* بر اساس روش پیشنهادی شرکت تولید کننده (Fermentas, Germany) صورت گرفت به این صورت که مخلوط برش حاوی پنج میکرولیتر محصول واکنش زنجیره‌ای پلیمراز، دو میکرولیتر بافر هضم (۱۰ برابر غلظت)، ۱۰ واحد آنزیم برشی در حجم نهایی ۳۱ میکرولیتر بود و به مدت ۱۰ ساعت در دمای ۳۷ درجه سانتی گراد برای *EcoRI* و ۶۵ درجه سانتی گراد برای *MseI* انجام پذیرفت (برای تنظیم حجم از آب مقطر بدون DNase استفاده گردید). سپس حجم ۱۰ میکرولیتر از محلول واکنش هضم، سه میکرولیتر بافر بارگذاری و دو میکرولیتر ماده ژل رد در ژل ۳٪ آگارز به مدت چهار ساعت در با ولتاژ ۷۰، الکتروفورز شدند. عکس‌برداری زیر نور ماورا بنفس صورت پذیرفت (از دو سایز مارکر ۱kb و ۵۰ bp برای تخمین طول قطعات حاصل از هضم استفاده گردید).

نتایج و بحث

دو آغازگر B1B2 و K1K2 هر کدام به ترتیب قطعاتی به طول تقریبی ۲۵۸۰ bp و ۱۷۴۰ bp را تکثیر کردند و لی آغازگر TF تکثیری انجام نداد. جهانگیرزاده خیاوی و همکاران (Jahangirzadeh et al., 2013) نیز در ارتباط با آغازگر TF در بررسی روی سیب‌های بومی منطقه آذربایجان نتیجه مشابهی گزارش نموده‌اند که این عدم تکثیر در نمونه‌ها می‌تواند به دلیلی رخ دادن جهش نقطه‌ای در محل اتصال آغازگر باشد زیرا این آغازگرهای روی گیاه تنباقو (Grivet et al., 2001) طراحی شده‌اند.

جدول ۳- الگوی اصلی و متغیر (bp) در جایگاه‌های چند شکلی به دست آمده توسط ترکیب آغازگر- آنزیم برشی

Table 3. Major patterns and variants (bp) of fragments revealed in each polymorphic site detected with different primer pair-restriction enzyme combinations

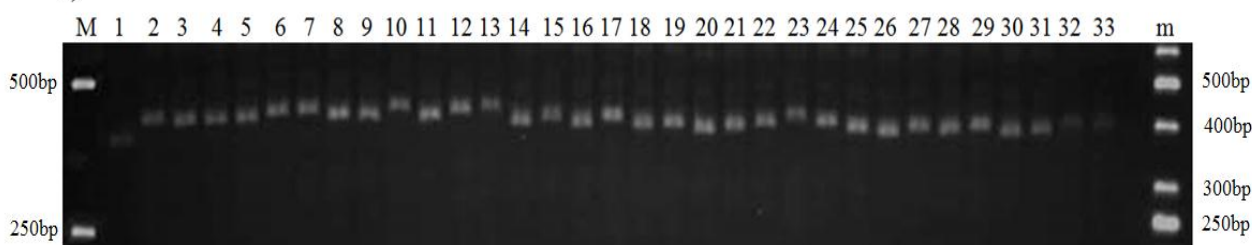
جایگاه چند شکلی Polymorphic Site	طول جهش Length of mutation	
	الگوی اصلی Major Pattern	الگوی تغییر یافته Variant
	BE _A (410bp)	BE _C (390bp) و BE _B (400bp)
K1K2- EcoRI	KE _A (650bp)	KE _B (610bp)

جدول ۴- فراوانی هاپلوتایپ‌های شناسایی شده

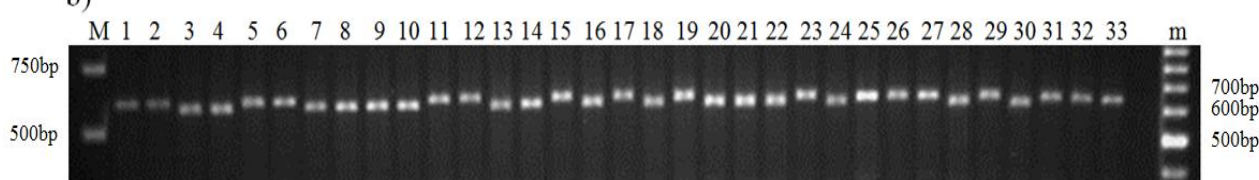
Table 4. Frequency of determined haplotype

هاپلوتایپ‌ها Haplotypes	تعداد Number	فراوانی Frequency
(BE _a KE _a) H1	8	0.125
(BE _a KE _b) H2	16	0.250
(BE _b KE _a) H3	11	0.172
(BE _b KE _b) H4	10	0.156
(BE _c KE _a) H5	10	0.156
(BE _c KE _b) H6	9	0.141
Total	64	1.000

a)

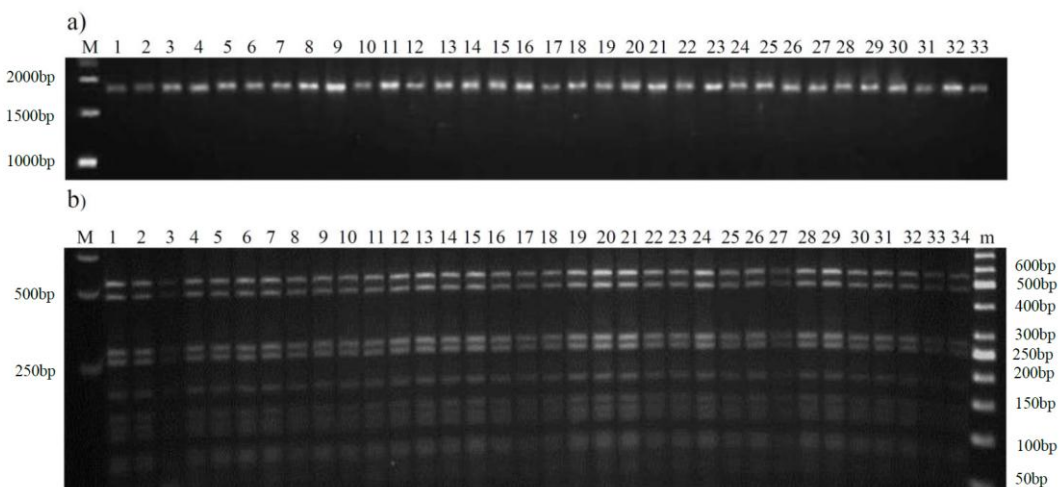


b)



شکل ۱- الگوهای برش در ترکیبات (a) و (b) B₁B₂- EcoRI و K₁K₂- EcoRI

Figure 1. Restriction patterns in combinations of B₁B₂- EcoRI (a) and K₁K₂- EcoRI (b)

شکل ۲- الگوهای برش ترکیبات (a) و $B_1B_2\text{-}MseI$ (b)Figure 2. Restriction patterns in combinations of $B_1B_2\text{-}MseI$ (a) and $K_1K_2\text{-}MseI$ (b)

فراوانی (۱/۵٪) فقط شامل گمی آلماسی (پایه پاکوتاه کننده بومی ایران) می‌باشدند. ژنوتیپ‌هایی که با نام ترش شناسایی می‌گردند و دارای گستردگی زیادی در سطح کشور ایران هستند در یک هاپلوتایپ (H5) قرار گرفتند (ترش مصری از منطقه شمال غرب به صورت استثنای در هاپلوتایپ دیگری (H4) قرار گرفته است). در بررسی جهانگیرزاده خیاوی و همکاران (Jahangirzadeh Khiavi *et al.*, 2013) نیز نمونه‌های ترش منطقه البرز مرکزی (ترش دماوند و ترش چالوس؛ نمونه‌های با کد ۲۸ و ۳۰ در بررسی حاضر) در یک هاپلوتایپ قرار گرفتند. در بررسی آنها از باقی نمونه‌ها مجزا قرار گرفت. از این نتیجه نکته‌ای که محتمل است داشتن جد مادری یکسان برای این ژنوتیپ‌ها می‌باشد. اما برای بیان مطلق این نکته نیاز به بررسی‌های بیشتر با نشانگرهای دقیق‌تر مانند SSR احساس می‌گردد. پایه‌های مالینگ و مالینگ مرتون مورد بررسی نیز خود به چهار گروه تقسیم شدند که پایه MM109 در هاپلوتایپ H3، پایه‌های M7 و M4 در هاپلوتایپ H9، پایه M9 در هاپلوتایپ H5 و پایه M26 در هاپلوتایپ H6 قرار گرفتند که جدا شدن M9 و M26 از یکدیگر با نتایج اعلام شده توسط ایشیکاوا و همکاران (Ishikawa *et al.*, 1992) همخوانی دارد. در این بررسی

در بررسی جهانگیرزاده خیاوی و همکاران (Jahangirzadeh Khiavi *et al.*, 2013) عمل شده است. DNA کلروپلاستی بطور کلی به علت حفاظت شدگی بالایی که دارد (Curtis and Clegg, 1984; Palmer, 1987) دارای توانایی کمی برای تشخیص تفاوت‌های درون گونه‌ای می‌باشد. DNA کلروپلاستی برای اولین بار برای تشخیص روابط ۶۴ ژنوتیپ سیب در ایران و مقایسه آنها با ارقام تجاری و پایه‌های متداول پاکوتاه کننده توسط روش PCR-RFLP مورد آزمون قرار گرفت. در این بررسی حدود ۴۳۲۰ bp از ژنوم کلروپلاست مورد مطالعه قرار گرفت که شش هاپلوتایپ متفاوت شناسایی شد. تمام تنوع‌های مطالعه شده در اثر جهش‌های کوچک حذف/اضافه (۱۰–۴۰ bp) بودند که این نوع جهش‌ها حدود ۵۰٪ تنوع DNA کلروپلاستی را می‌گردند (Gielly and Taberlet, 1994). جهانگیرزاده خیاوی و همکاران (Jahangirzadeh Khiavi *et al.*, 2013) نیز دامنه جهش‌های شناسایی شده در سیب‌های بومی منطقه آذربایجان را در همین محدوده (۲۰–۵۰ bp) گزارش نموده‌اند.

با توجه به اطلاعات حاصل مشخص گردید که ژنوتیپ‌های ناحیه شمال غرب ایران خود به پنج گروه هاپلوتایپی تعلق دارند (H1,H2,H3,H4,H6) که هاپلوتایپ H4 با حداقل فراوانی (۱۱٪) و H6 با حداقل

یکدیگر نزدیک بودند، نیز در یک حالت هاپلوتاپی (H4) قرار گرفتند که این حالت نشان از آن می‌باشد که این دو نمونه احتمالاً دارای جد مادری اولیه یکسانند.

تعداد زیاد هاپلوتاپ‌هایی که در دو منطقه البرز مرکزی و دامنه زاگرس دیده شد با نتایج حاصل از مطالعات کاتو و همکاران (Kato *et al.* 1993) که در ۱۴ ژنتیپ سیب ۱۱ هاپلوتاپ را شناسایی نمود، همانگی نشان می‌دهد و به این دلیل به تعداد بالای هاپلوتاپ‌های این دو منطقه نمی‌توان با دیده تردید نگریست.

به طور کلی، نتایج حاصل از این بررسی نشان می‌دهد که مطالعه گوناگونی DNA کلروپلاستی با شکستن جامعه‌های بزرگ به جمعیت‌های کوچک و مهیا کردن شرایط برای بررسی نمونه‌ها توسط نشانگرهای دقیق تر مانند ریزماهواره‌ها در حجم کاری کمتر بسیار مناسب می‌باشد. بطوری که فقط کافی است که نمونه‌های داخل یک گروه هاپلوتاپی با یکدیگر مقایسه و بررسی شوند. در این ارتباط روش PCR-RFLP برای مشخص نمودن تفاوت‌های هاپلوتاپی بین نمونه‌ها یک روش بسیار مناسب می‌باشد که به راحتی هاپلوتاپ‌ها را مشخص می‌نماید. البته برای افزایش دقت تعیین هاپلوتاپ‌ها کاربرد آنژیم‌های برشی بیشتر یا تکثیر قطعات متفاوت و بررسی آنها نیز تاثیر زیادی دارند که باید مدنظر قرار گیرد.

References

- Bagheri, A., Kochaki, A. and Zand, A.** (1996). *Plant Breeding in Sustainable Agriculture*. Mashhad University Jihad publications. Mashhad, IR (In Persian).
- Bouhadida, M., Martín, J.P., Eremin, G., Pinochet, J., Moreno, M.Á. and Gogorcena, Y.** (2007). Chloroplast DNA diversity in *Prunus* and its implication on genetic relationships. *Journal of the American Society for Horticultural Science*, **132(5)**: 670-679.
- Coart, E., Van Glabeke, S., De loose, M., Larsen, A.S. and Roldan-ruiz, I.** (2006). Chloroplast diversity in the genus *Malus*: New insights into the relationship between the European wild apples (*Malus sylvestris* (L.) Mill.) and the domesticated apple (*Malus domestica*Borkh.). *Molecular Ecology*, **15**: 2171-2182.
- Cros, J., Combes, M.C., Trouslot, P., Anthony, F., Hamon, S., Charrier, A. and Lashermes, P.** (1998). Phylogenetic analysis of chloroplast DNA variation in *Coffea*L. *Molecular Phylogenetics and Evolution*, **9(1)**: 109-117.
- Curtis, S.E. and Clegg, M.T.** (1984). Molecular evolution of chloroplast DNA sequences. *Molecular Biology and Evolution*, **1**: 291-301.
- Demesure, B., Sodzi, N. and Petit, R.J.** (1995). A set of universal primers for amplification of polymorphic non-coding regions of mitochondrial and chloroplast DNA in plants. *Molecular Ecology*, **4**: 129-131.

دو رقم تجاری فوجی و گلدن دلیشر از یکدیگر جدا شدند که با نتایج ایشیکاوا و همکاران (Ishikawa *et al.*, 1992) که این دو رقم را در یک گروه اعلام کردند تضاد دارد. گلدن دلیشر در مطالعه حاضر در گروه هاپلوتاپی H2 و فوجی در H6 قرار گرفتند که تنها تفاوت ما بين آنها رخداد حداقل یک جهش در قطعه تکثیر شده توسط آغازگر B_1B_2 می‌باشد. همچنین جدا شدن فوجی از رقم رد دلیشر تاییدی بر والد پدری بودن رد دلیشر می‌باشد، Delicious × Rollosjanet زیرا رقم فوجی حاصل تلاقی Ishikawa *et al.*, 1992 بوده که در مطالعات ایشیکاوا و همکاران (Ishikawa *et al.*, 1992) نیز مشخص گردیده است. ژنتیپ‌های منطقه البرز مرکزی (دماؤند، چالوس، شهریار، شاهروド و طالقان) در شش هاپلوتاپ دیده شدند که هاپلوتاپ H5 حداقل تعداد نمونه را تحت پوشش قرار داد (۹٪/۳۷٪) که اکثر این نمونه‌ها از نواحی شمیرانات بودند. هاپلوتاپ‌های H2 و H3 نیز حداقل پوشش را با فراوانی (۳٪/۱۲٪) (هر کدام دو نمونه) داشتند. ژنتیپ‌های منطقه مرکز-جنوب (دامنه زاگرس) نیز هر شش حالت هاپلوتاپی را نشان دادند که در این منطقه هاپلوتاپ H1 حداقل فراوانی (۶٪/۲۵٪) و هاپلوتاپ‌های H5 و H6 هر کدام با یک نمونه حداقل فراوانی را داشتند. دو نمونه SBA از اصفهان و تابستان زودرس اقلید (دو منطقه‌ای که کشت و کار سیب در آنها محدود است) انتخاب شده بودند و از نظر بعد مسافتی به

- Dumolin-Lapegue, S., Pemonge, M.H. and Petit, R.J.** (1997). An enlarged set of consensus primers for the study of organelle DNA in plants. *Molecular Ecology*, **6**: 393-397.
- Fujii, N., Tomaru, N., Okuyama, K., Koike, T., Mikami, T., and Ueda, K.** (2002). Chloroplast DNA phylogeography of *Fagus crenata* (Fagaceae) in Japan. *Plant Systematics Evolution*, **232(1-2)**: 21-33.
- Gielly, L. and Taberlet, P.** (1994). The use of chloroplast DNA to resolve plant phylogenies. Non-coding vs. *RbcL* sequences. *Molecular Biology and Evolution*, **11**: 769-777.
- Grivet, D., Heinze, B., Vendraminà, G.G. and Petit, R.J.** (2001). Genome walking with consensus primers: Application to the large single copy region of chloroplast DNA. *Molecular Ecology Notes*, **1**: 345-349.
- Heuertz, M., Fineschi, S., Anzidei, M., Pastorelli, R., Salvini, D., Paule, L., Frascaria-Lacoste, N., Hardy, O.J., Vekemans, X. and Vendramin, G.G.** (2004). Chloroplast DNA variation and postglacial recolonization of common ash (*Fraxinus excelsior* L.) in Europe. *Molecular Ecology*, **13**: 3437-3452.
- Ishikawa, S., Kato, S., Imakawa, S., Mikami, T. and Shimamoto, Y.** (1992). Organel DNA polymorphism in apple cultivars and rootstocks. *Theoretical and Applied Genetics*, **83**: 963-967.
- Jahangirzadeh Khiavi, Sh., Zamani, Z., Mardi, M. and Fatahi Moghadam, M.** (2013). Evaluation of Chloroplast relationship between some apple genotype from Azerbaijan of Iran and their comparison with other local genotypes, cultivars and rootstocks. *African Journal of Agricultural Research*, **8(1)**: 106-112.
- Katayama, H. and Uematsu, C.** (2005). Structural analysis of chloroplast DNA in *Prunus* (Rosaceae): Evolution, genetic diversity and unequal mutations. *Theoretical and Applied Genetics*, **111**: 1430-1439.
- Kato, S., Ishikawa, S., Imakawa, S., Komori, S., Mikami, T. and Shimamoto, Y.** (1993). Mitochondrial DNA restriction fragment length polymorphisms in *Malus* species. *Plant Breeding*, **111**: 162- 165.
- Kucuk, O., Gulbitti-Onarici, S. and Sumer, S.** (2006). RFLP of analyses of an intergenic spacer region of chloroplast DNA in some wild wheat species. *African Journal of Biotechnology*, **5(22)**: 2058-2061.
- Manie, A.** (2001). *Apple and its Culture*. Technical Publications Companies in Iran. Tehran, IR (In Persian).
- Matsumoto, S., Wakita, H. and Soejima, J.** (1997). Chloroplast DNA probes as an aid in the molecular classification of *Malus* species. *Scientia Horticulturae*, **70**: 81-86.
- Mohanty, A., Martín, J.P. and Aguinagalde, I.** (2001). Chloroplast DNA study in wild populations and some cultivars of *Prunus avium* L. *Theoretical and Applied Genetics*, **103**: 112-117.
- Palmer, J.D.** (1987). Chloroplast DNA evolution and biosystematic uses of chloroplast DNA variation. *American Society of Naturalists*, **130**: S6-S29.
- Panda, S., Pedro Martin, J. and Aguinagalde, I.** (2003). Chloroplast DNA study in sweet cherry cultivars (*Prunus avium* L.) using PCR-RFLP method. *Genetic Resources and Crop Evolution*, **50**: 489-495.
- Salehi Shanjani, P.** (2004). Chloroplast DNA phylogeography of *Fagus orientalis* Lipsky in Iran. *Journal of Iran Biology*, **17(2)**: 117-126 (In Persian).
- Taberlet, P., Gielly, L., Pautou, G. and Bouvet, J.** (1991). Universal primers for amplification of three non-coding regions of chloroplast DNA. *Plant Molecular Biology*, **17**: 1105-1109.
- Turkec, A., Sayar, M. and Heinze, B.** (2006). Identification of sweet cherry cultivars (*Prunus avium* L.) and analysis of their genetic relationships by chloroplast sequence-characterised amplified regions (cpSCAR). *Genetic Resources and Crop Evolution*, **53**: 1635-1641.
- Widmer, A. and Baltisberger, M.** (1999). Extensive intraspecific chloroplast DNA (cpDNA) variation in the alpine *Draba aizoides* L. (Brassicaceae): Haplotype relationships and population structure. *Molecular Ecology*, **8**: 1405-1415.
- Zeinalabedini, M., Mahjourhat, K., Khayam-Nekoui, M., Grigorian, V., Toorchian, M., Dicenta, F. and Martinez-Gomez, P.** (2007). Molecular characterization of almond cultivars and related wild species using nuclear and chloroplast DNA markers. *Journal of Food, Agriculture & Environment*, **5(3&4)**: 242-247.

Comparison of Chloroplast DNA Diversity in Some Iranian Apple Genotypes, Commercial Cultivars and Rootstocks

Shahin Jahangirzadeh Khiavi^{1,*}, Zabihollah Zamani², Mohamadreza Fatahi² and Masoumeh Ashourpour³

- 1- Assistant Professor, Tea Research Center, Horticultural Sciences Research Institute, Agricultural Research, Education and Extension Organization (AREEO), Lahijan, Iran
- 2- Professor, Department of Horticulture science, Faculty of Agriculture, University of Tehran, Karaj, Iran
- 3- Associate Professor, Department of Horticulture science, Faculty of Agriculture, University of Tehran, Karaj, Iran
- 4- M.S of Organization of Agriculture - Guilan branch, Rasht, Iran

(Received: July 5, 2017 – Accepted: March 11, 2018)

Abstract

The chloroplastic DNA of 64 accessions of apple (*Malus* spp.) (54 Iranian genotypes, five commercial cultivars and five rootstocks) were analyzed to reveal their haplotypes by using Polymerase Chain Reaction-Restriction Fragment Length Polymorphism (PCR-RFLP) method. Approximately 4320 bp of the chloroplast genome was analyzed, by using two chloroplast universal primer pairs and two restriction enzymes (*EcoRI* and *MseI*). All the mutations detected were insertion-deletions been in the range between 10-40 bp. The combination of all the mutations resulted to six haplotypes (H1, H2, H3, H4, H5 and H6) in the studied apple accessions. It was defined that the Iranian apple rootstock 'Gami-Almasi' had a specific haplotype form all the other studied accessions. It was approved that cpDNA diversity data can be considered for phylogenetic studies in this plant and the polymorphism determined in cytoplasmic genome by PCR-RFLP method can help to understand the maternal inheritance in apple.

Keywords: Chloroplast universal primer, Restriction enzyme, *Malus Spp*, Haplotype, PCR-RFLP

* Corresponding Author, E-mail: sh.jahangirzadeh@ areeo.ac.ir